

Bisimulation dans CCS (2023)

Corrigé
*

Le langage CCS (*Calculus of Communication Systems*) est un langage de description de processus concurrents. On s'intéresse d'abord à une version simplifiée du langage, dont la syntaxe, construite à partir d'un ensemble infini d'actions $a, b, c \dots$ est donnée par :

$$\begin{aligned} P, Q &::= 0 \mid P \parallel Q \mid \alpha.P \mid P + Q \\ \alpha &::= a \mid \bar{a} \end{aligned}$$

0 est le processus inactif; $P \parallel Q$ est la composition parallèle des processus P et Q ; $a.P$ (respectivement $\bar{a}.P$) est le processus qui effectue l'action a (respectivement le dual de l'action a) puis se comporte comme P ; $P + Q$ est le choix non-déterministe entre P et Q .

Une relation de *congruence structurelle* \equiv permet d'identifier des processus qui s'écrivent différemment mais représentent le même objet :

- $P \parallel Q \equiv Q \parallel P$ et $P \parallel (Q \parallel R) \equiv (P \parallel Q) \parallel R$ et $0 \parallel P \equiv P$;
- $P + Q \equiv Q + P$ et $P + (Q + R) \equiv (P + Q) + R$ et $0 + P \equiv P$;
- si $P \equiv P'$, alors $\alpha.P \equiv \alpha.P'$;
- si $P \equiv P'$ et $Q \equiv Q'$, alors $P \parallel Q \equiv P' \parallel Q'$ et $P + Q \equiv P' + Q'$;
- \equiv est réflexive, symétrique et transitive.

Dans la suite, on considérera les processus « modulo \equiv », c'est-à-dire qu'on manipulera des classes d'équivalence de processus pour \equiv .

Une *étiquette* ℓ est soit une action (ou une action duale) α soit une *synchronisation* τ . La sémantique de CCS (la manière dont les processus évoluent) est donnée par la relation de *transition étiquetée* suivante :

- $\alpha.P \rightarrow^\alpha P$ (l'action α est jouée);
- $a.P \parallel \bar{a}.Q \rightarrow^\tau P \parallel Q$ (l'action a et l'action duale \bar{a} se synchronisent);
- si $P \rightarrow^\ell P'$, alors $P \parallel Q \rightarrow^\ell P' \parallel Q$;
- si $P \rightarrow^\ell P'$, alors $P + Q \rightarrow^\ell P'$;
- si $P \rightarrow^\ell P'$ et $P \equiv Q$ et $P' \equiv Q'$, alors $Q \rightarrow^\ell Q'$.

On omettra les occurrences de 0 en fin de processus, par exemple on écrira $a.b$ plutôt que $a.b.0$. On considérera que le préfixe $.$ est prioritaire sur la somme $+$ qui est prioritaire sur la composition parallèle \parallel : ainsi, $a.b + c \parallel d$ est $((a.b) + c) \parallel d$.

Un *graphe de transition de P* est une représentation des processus accessibles depuis P par transitions successives sous forme de graphe où :

- les sommets sont les classes d'équivalence pour \equiv de processus différents;
- les arêtes des transitions étiquetées entre les processus.

À titre d'exemple, le graphe de transition du processus $a.\bar{b} \parallel \bar{a}$ est donnée dans la figure 1. On constate, entre autres, que $a.\bar{b} \parallel \bar{a}$ peut effectuer trois transitions :

- $a.\bar{b} \parallel \bar{a} \rightarrow^a \bar{b} \parallel \bar{a}$ (on a joué l'action a);
- $a.\bar{b} \parallel \bar{a} \rightarrow^{\bar{a}} a.\bar{b} \parallel 0$ (on a joué l'action duale \bar{a});
- $a.\bar{b} \parallel \bar{a} \rightarrow^\tau \bar{b} \parallel 0$ (on a synchronisé a et \bar{a}).

Question 1

Donner les graphes de transition des cinq processus suivants :

- (1) 0 (2) $a.b + a.c$ (3) $a.(b + c)$ (4) $a.\bar{a} + \bar{a}.a$ (5) $a \parallel \bar{a}$

Solution.

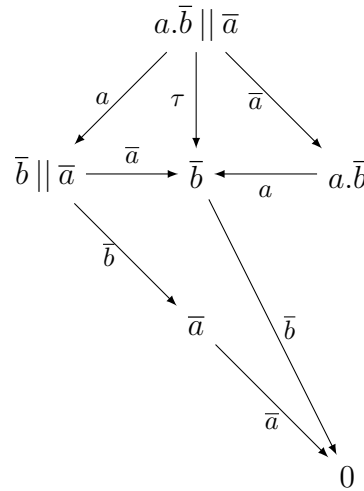
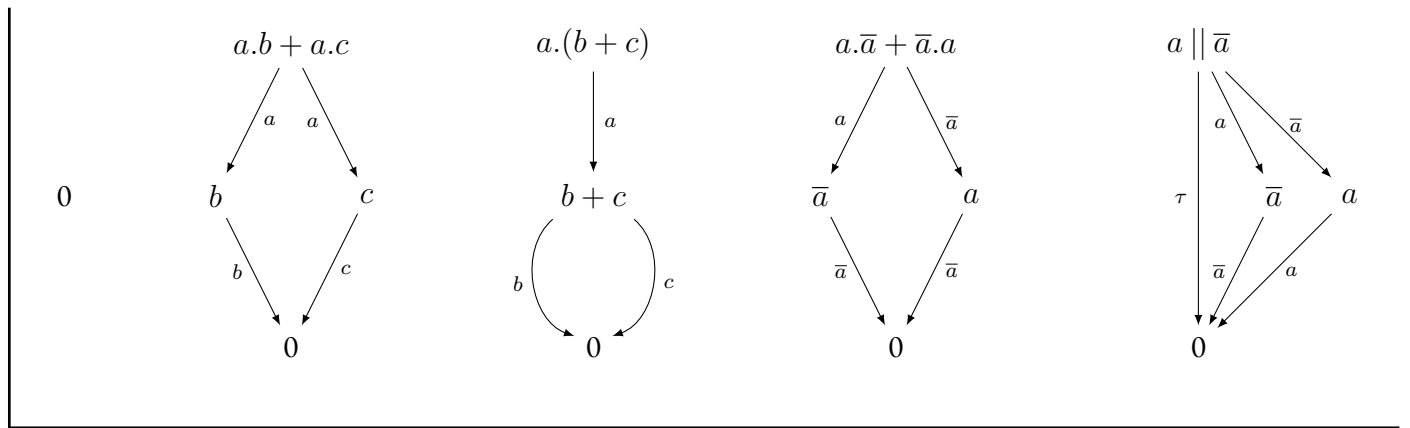


Figure 1.

Question 2

Montrer qu'un graphe de transition d'un processus est fini.

Solution.

On ignore pour le moment le quotientage par la relation \equiv , et on conclut quand même.

On définit la taille d'un processus récursivement : $t(0) = 0$, $t(\alpha) = 1$ pour toute action ou sa duale, $t(P \parallel Q) = t(P + Q) = 1 + t(P) + t(Q)$. Par induction, on montre alors que pour tous processus P et P' telles qu'il existe ℓ vérifiant $P \rightarrow^\ell P'$, alors $t(P') < t(P)$: ça se fait par induction sur les 4 premières règles.

Remarquons aussi que « l'alphabet » (c'est-à-dire le nombre d'actions différentes dans un processus) ne croît jamais; donc on peut définir l'alphabet d'un processus.

Soit P le processus initial de taille n . Alors le graphe (en ignorant le quotientage) ne contient que des processus de taille $\leq n$ sur l'alphabet de P : il y en a un nombre fini.

Après quotientage, on ne fera que fusionner des sommets, donc le graphe de transition a un nombre fini de sommets, donc est fini.

Remarquons que l'argument sur la décroissance stricte de la taille implique que le graphe est acyclique.

On ajoute la récursion à la syntaxe du langage : $P, Q ::= [\dots] \mid X \mid \mu X.P$ avec X appartenant à un ensemble infini de *variables de récursion*, avec la règle de congruence structurelle suivante :

$$\mu X.P \equiv P[\mu X.P/X]$$

où $P[Q/X]$ est le processus obtenu en remplaçant dans P chaque occurrence de X par le processus Q . En outre,

si $P \equiv P'$, alors $\mu X.P \equiv \mu X.P'$.

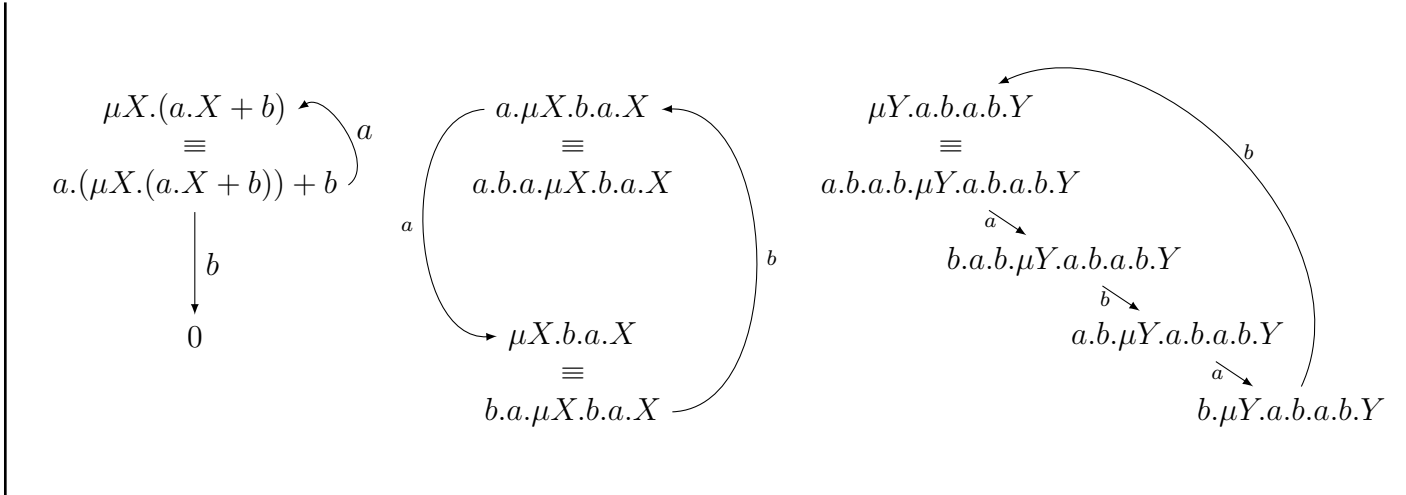
Par exemple, on a $\mu X.a.X \equiv a.\mu X.a.X \equiv a.a.\mu X.a.X \equiv \dots$

Question 3

Donner le graphe de transition des processus suivants :

$$(1) \quad \mu X.(a.X + b) \quad (2) \quad a.\mu X.b.a.X \quad (3) \quad \mu Y.a.b.a.b.Y$$

Solution.



Question 4

Montrer qu'un graphe de transition peut être infini.

Solution.

Considérons le processus $P = \mu X.(aX \parallel bX) \equiv a.\mu X.(aX \parallel bX) \parallel b.\mu X.(aX \parallel bX)$: remarquons que si on procède à une nouvelle substitution, elle ne fera que rajouter des parallélisations **internes**, et aucune externe. On exploite cela : en partant de ce processus et en jouant a , on obtient $\mu X.(aX \parallel bX) \parallel b.\mu X.(aX \parallel bX) \equiv a.\mu X.(aX \parallel bX) \parallel b.\mu X.(aX \parallel bX) \parallel b.\mu X.(aX \parallel bX)$: on a fait apparaître une nouvelle parallélisation externe ! Donc en particulier, ce nouveau processus n'est pas équivalent au premier. En continuant ainsi arbitrairement longtemps, on trouve des processus avec un nombre arbitrairement grand de parallélisations externes ; ils sont tous distincts et ne sont pas identifiés par la relation \equiv . Donc le graphe de transition associé est bien infini.

Un ensemble E et une relation d'ordre \leq sur E forment un *treillis complet* (E, \leq) quand toute partie $S \subseteq E$ admet une borne inférieure et une borne supérieure pour \leq .

Soit f croissante sur un treillis complet (E, \leq) .

Question 5

Montrer que si x est un point pré-fixe de f , c'est-à-dire si $x \leq f(x)$, alors $f(x)$ en est aussi un.

Solution.

f croissante + $x \leq f(x) \implies f(x) \leq f(f(x))$ donc $f(x)$ est un point pré-fixe.

Question 6

Montrer que la borne supérieure des points pré-fixes de f est le plus grand point fixe de f .

Solution.

Soit PF l'ensemble des points pré-fixes, et notons $a = \sup PF$. Remarquons alors que pour tout $x \in PF$, $x \leq a$; par croissance de f , $x \leq f(x) \leq f(a)$. Donc $f(a)$ est aussi un majorant de PF , et a en est le plus petit, donc $a \leq f(a)$. Donc $a \in PF$; donc par la question précédente, $f(a) \in PF$. Comme a majore PF , $f(a) \leq a$: donc $a = f(a)$.

Soit b un point fixe, alors b est aussi un point pré-fixe, donc majoré par a .

Question 7

Montrer le lemme de Knaster-Tarski :

Toute fonction f croissante sur un treillis complet admet un plus petit et un plus grand point fixe.

Solution.

On vient de montrer que f admet un plus grand point fixe. Le même raisonnement sur les points post-fixes prouve que f admet aussi un plus petit point fixe.

Soit \mathcal{P} l'ensemble des processus de CCS et \mathcal{L} l'ensemble des étiquettes. Une relation $\mathcal{R} \subseteq \mathcal{P} \times \mathcal{P}$ est une *bisimulation* si pour tout couple $(P, Q) \in \mathcal{R}$:

- pour tout $(\ell, P') \in \mathcal{L} \times \mathcal{P}$, si $P \xrightarrow{\ell} P'$, alors il existe $Q' \in \mathcal{P}$ tel que $Q \xrightarrow{\ell} Q'$ et $(P', Q') \in \mathcal{R}$.
- pour tout $(\ell, Q') \in \mathcal{L} \times \mathcal{P}$, si $Q \xrightarrow{\ell} Q'$, alors il existe $P' \in \mathcal{P}$ tel que $P \xrightarrow{\ell} P'$ et $(P', Q') \in \mathcal{R}$.

La bisimilarité (notée \sim) est la plus grande bisimulation (pour l'inclusion).

La définition de la bisimilarité n'est pas inductive : elle est récursive, mais ne contient pas de cas de base (on dit qu'elle est *coinductive*).

Question 8

Montrer que la bisimilarité peut être formellement définie, de manière unique, par le théorème de Knaster-Tarski.

Solution.

On pose comme ensemble $E = \mathcal{P} \times \mathcal{P}$ et comme ordre \leq l'inclusion. Alors (E, \leq) est bien un treillis complet (la borne sup est l'union, la borne inf l'intersection).

On définit ensuite la fonction $f : E \rightarrow E$ suivante :

$$f(\mathcal{R}) = \mathcal{R} \cup \{(P, Q) \mid \text{si } P \xrightarrow{\ell} P', \exists Q' \text{ tq } Q \xrightarrow{\ell} Q' \wedge (P', Q') \in \mathcal{R} \\ \text{et si } Q \xrightarrow{\ell} Q', \exists P' \text{ tq } P \xrightarrow{\ell} P' \wedge (P', Q') \in \mathcal{R}\}$$

Alors f est croissante; de plus, si \mathcal{R} est une bisimulation, alors elle sera un point fixe de f . Réciproquement, si \mathcal{R} est un point fixe de f , alors \mathcal{R} est une bisimulation; donc en définissant la bisimilarité comme le plus grand point fixe de f , c'est bien la plus grande bisimulation.

C'est un peu étrange, car ce n'est pas constructif : la bisimilarité n'est pas une limite d'une suite $(f^n(\mathcal{R}_0))_{n \geq 0}$; toutes les bisimulations sont des points fixes de f , et réciproquement. Knaster-Tarski nous affirme que f admet un plus grand point fixe, donc la bisimilarité existe; mais il ne nous explique pas comment l'obtenir.

Question 9

Montrer que les processus (2) et (3) de la question 3 sont *bisimilaires*, c'est-à-dire qu'ils appartiennent (en tant que couple de processus) à la bisimilarité.

Solution.

La bisimilarité est la plus grande bisimulation : si on en trouve une qui fonctionne, ça fonctionnera pour \sim .
On propose une relation très très simple :

$$\begin{aligned} a.\mu X.b.a.X &\sim \mu Y.a.a.b.Y \sim a.b.\mu Y.a.b.a.Y \\ \mu X.b.a.X &\sim b.a.b.\mu Y.a.a.b.Y \sim b.\mu Y.a.b.a.b.Y \end{aligned}$$

et c'est tout. Alors ça marche : cela revient à dire que pour tout sommet du graphe de gauche, on peut lui associer un sommet du graphe de droite, et si on se contente d'avancer selon a et b , on ne saurait distinguer si on est dans le premier graphe ou le second.

Question 10

Montrer que les processus (2) et (3) de la question 1 ne sont pas bisimilaires.

Solution.

Supposons que les processus $a.b + a.c$ et $a.(b + c)$ soient bisimilaires : alors on aurait que $b \sim b + c \sim c$ (car $a.b + a.c \rightarrow^a b$ et $a.(b + c) \rightarrow^a b + c$, donc $b \sim b + c$, et pareil avec c); mais pourtant, depuis b , il n'existe pas de processus P tel que $b \rightarrow^c P$, tandis qu'il en existe un depuis c . Absurde!